

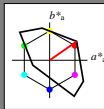
Eingabe: Farbmimetrisches Fernseh-Licht-System TLS18

für Buntton $h^* = lab^*h = 35/360 = 0.097$ lab^*ch und lab^*nch

D65: Buntton O

LCH*Ma: 53 87 35

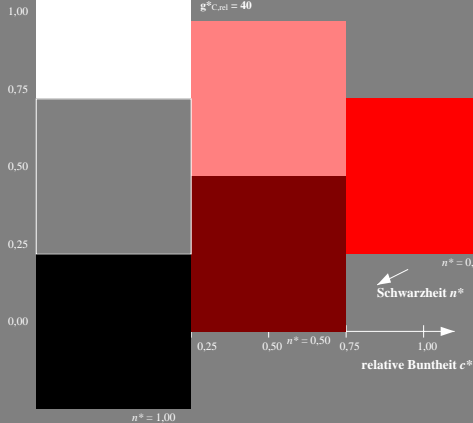
olv*Ma: 1.0 0.0 0.0

Dreiecks-Helligkeit t^* 

%Umfang
 $u^*_{rel} = 118$
 %Regularität
 $g^*_{H,rel} = 22$
 $g^*_{C,rel} = 40$

TLS18; adaptierte CIELAB-Daten

	L^*	a^*	b^*	$C^*_{ab,a}$	$h^*_{ab,a}$
OMa	52.76	71.63	49.88	87.29	35
YMa	92.74	-20.02	84.97	87.3	103
LMa	84.0	-78.98	73.94	108.2	137
CMa	87.14	-44.41	-13.11	46.32	196
VMa	35.47	64.92	-95.06	115.12	304
MMa	59.01	89.33	-55.67	105.26	328
NMa	18.01	0.0	0.0	0.0	0
WMa	95.41	0.0	0.0	0.0	0
RCIE	39.92	58.74	27.99	65.07	25
JCIIE	81.26	-2.88	71.56	71.62	92
GCIIE	52.23	-42.41	13.6	44.55	162
BCIE	30.57	1.41	-46.46	46.49	272



NG890-1, 3stufige Reihen für konstanten CIELAB Buntton 35/360 = 0.097 (links)

BAM-Prüfvorlage NG89; Farbmimetrik-Systeme TLS18 & TLS18
 D65: 3 und 5stufige Farbreihen für 10 Bunttöne

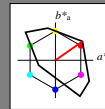
Ausgabe: Farbmimetrisches Fernseh-Licht-System TLS18

für Buntton $h^* = lab^*h = 35/360 = 0.097$ lab^*ch und lab^*nch

D65: Buntton O

LCH*Ma: 53 87 35

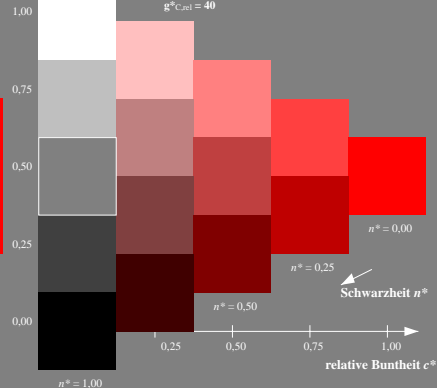
olv*Ma: 1.0 0.0 0.0

Dreiecks-Helligkeit t^* 

%Umfang
 $u^*_{rel} = 118$
 %Regularität
 $g^*_{H,rel} = 22$
 $g^*_{C,rel} = 40$

TLS18; adaptierte CIELAB-Daten

	L^*	a^*	b^*	$C^*_{ab,a}$	$h^*_{ab,a}$
OMa	52.76	71.63	49.88	87.29	35
YMa	92.74	-20.02	84.97	87.3	103
LMa	84.0	-78.98	73.94	108.2	137
CMa	87.14	-44.41	-13.11	46.32	196
VMa	35.47	64.92	-95.06	115.12	304
MMa	59.01	89.33	-55.67	105.26	328
NMa	18.01	0.0	0.0	0.0	0
WMa	95.41	0.0	0.0	0.0	0
RCIE	39.92	58.74	27.99	65.07	25
JCIIE	81.26	-2.88	71.56	71.62	92
GCIIE	52.23	-42.41	13.6	44.55	162
BCIE	30.57	1.41	-46.46	46.49	272



5stufige Reihen für konstanten CIELAB Buntton 35/360 = 0.097 (rechts)

BAM-Prüfvorlage NG89; Farbmimetrik-Systeme TLS18 & TLS18
 D65: 3 und 5stufige Farbreihen für 10 Bunttöne